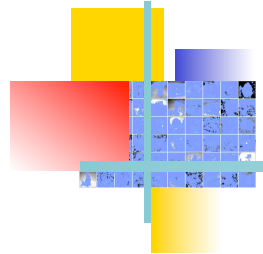


Utilisation et propriétés d'un précodage des données par motifs fréquents en classification supervisée

A. Cornuéjols, S. Jouteau, M. Sebag ([LRI](#))

Ph. Tarroux ([LIMSI](#))

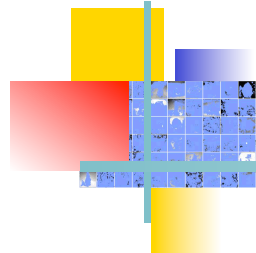
CNRS - Université de Paris-Sud, Orsay



Motivation

Le problème étudié :

identifier des régularités dans des données en très grandes dimensions



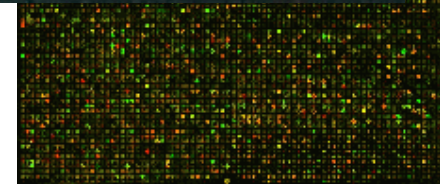
Données en grandes dimensions

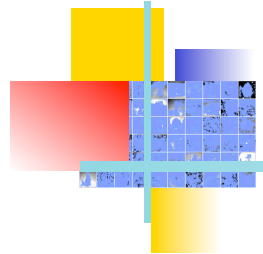
- **Définies par un très grand nombre d' attributs**

(Note : l'un des 10 pbs soulevés lors
mathématiques en 2000)

- **Exemples :**

- Puces ADN
 - E.g. 6400 gènes,
 - organismes sains ou irradiés
- Images
 - E.g. 256*256*(256 niveaux de gris)
 - Formes présentes dans l'image

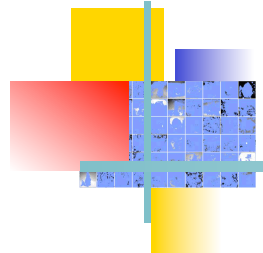




L'objectif

→ *Identifier des régularités dans des données de très grandes dimensions*

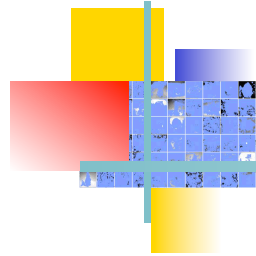
- Apprentissage supervisé multi-classes
- Beaucoup de dimensions + peu d' exemples
 - = Difficulté pour distinguer vraies régularités et coïncidences



Prétraitements

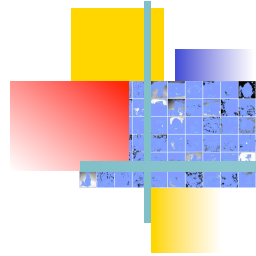
■ Réduction de dimension

- Sélection d' attributs
 - Élimination des redondances (ACP, ...)
 - Recherche de corrélations
- Modélisation : hypothèses sur la statistique du signal
 - Analyse de Fourier
 - Analyse en ondelettes



Cas de l'analyse de scènes

- Scènes naturelles \neq scènes artificielles
- Observation neurobiologique : **codage clairsemé**
- Hypothèse : signal résultant d'une **superposition de « formes latentes »**
- *Analyse en composantes indépendantes* (ACI)

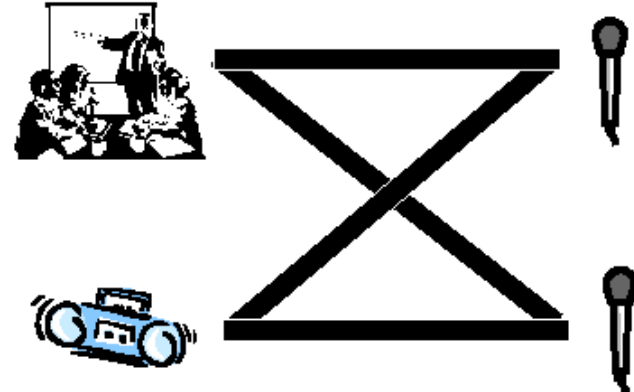


L'analyse en composantes indépendantes

(Introdite en 1984. Développée dans les 90s)

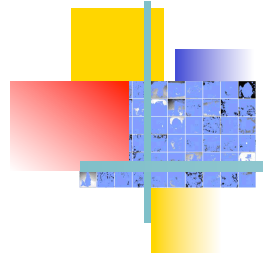
Hyp. de base : *les données résultent d'une combinaison linéaire de formes latentes*

→ Recherche de ces formes latentes



- **Mais :**

- Inapplicable en grande dimension
- Hypothèse de linéarité



L'ACI en analyse de scènes

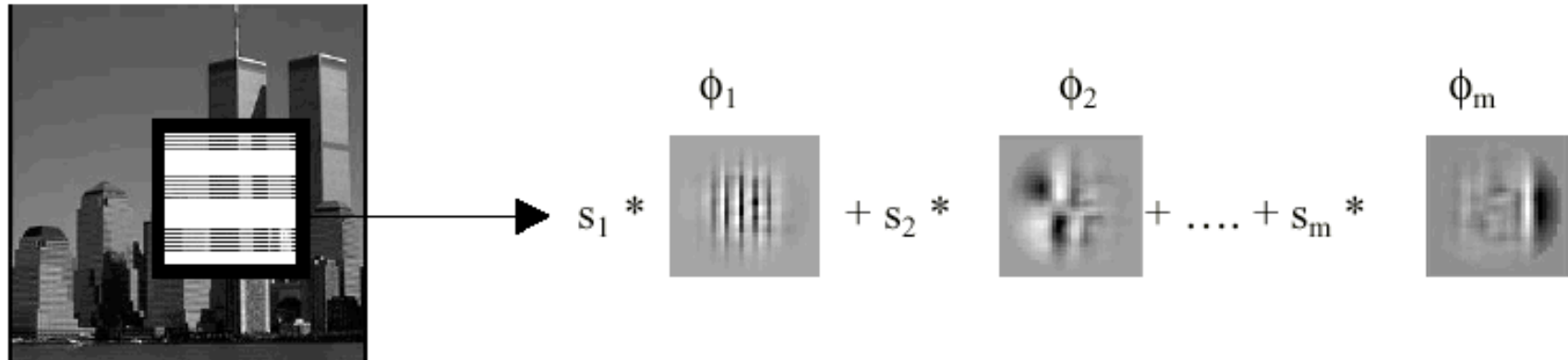
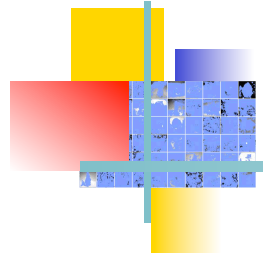


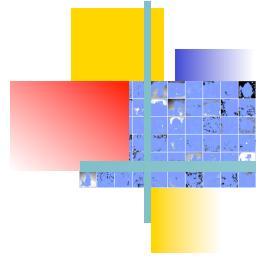
Figure 1 : Illustration de la décomposition d'une imagette dans la base Φ .

- Les scènes sont décomposées en imagettes ...
- ... codées par des superpositions linéaires de formes latentes



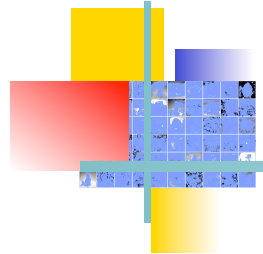
Le projet

- *Peut-on rechercher directement un codage clairsemé ?*
- Idée : **adapter des techniques de fouilles de données**



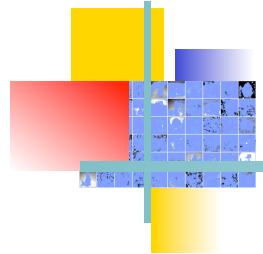
Les motifs fréquents

- **Le problème**
 - Étant donné une base de données consistant en tuples, trouver des règles d' association prédisant avec confiance quels items se trouvent souvent ensemble (Frequent ItemSets)
 - **Exemple canonique (mais mythique)**
 - Les caddys dans les supermachés
 - Un tuple = ensemble d' items achetés ensemble
 - **En général :**
 - Beaucoup de motifs fréquents
 - Mais peu qui soient vérifiés ensemble
- ➡ **Codage clairsemé**



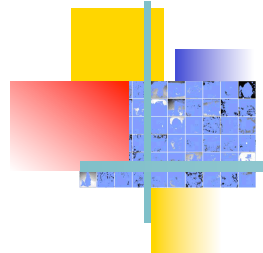
L'algorithme APRIORI

- Se donner un **taux de couverture** : ε
- Commencer avec les 1-itemsets de couverture $\geq \varepsilon$
- À chaque étape k :
 - Ajouter au k -itemsets un 1-itemset de couverture $\geq \varepsilon$
 - Éliminer les itemsets de couverture $< \varepsilon$ pour obtenir l' ensemble des $(k+1)$ -itemsets
- + **un usage astucieux de tables de hachage**



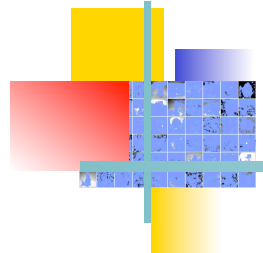
Adaptation de l'algorithme

- **Représentativité**
 - Chaque image correspond à un nombre suffisant de motifs
- **Codage clairsemé**
 - Chaque image correspond à un nombre limité de motifs
- **Orthogonalité des motifs**
 - Chaque couple de motifs a peu d'images en commun
- **+ Contraintes sémantiques**
 - E.g. : motifs connexes
 - E.g. : motifs en ligne
 - ...

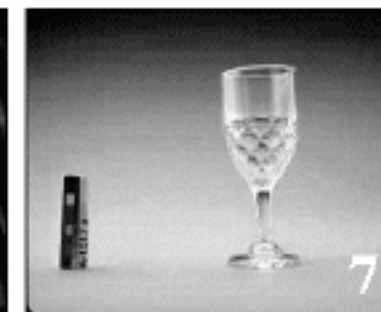
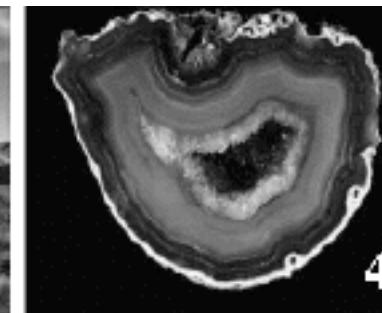
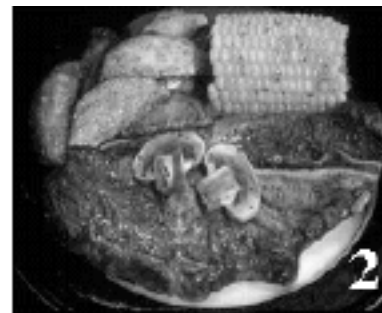


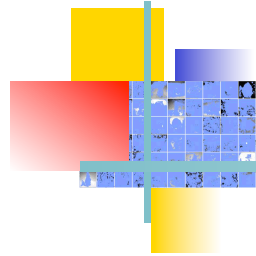
Les expériences

- Base d'images tirée de la base COREL
- **12 classes** différentes de scènes
- Base de **1080 images** (90 images / classe)
- $128 \times 128 = 16384$ en 128 niveaux de gris
- ou : $64 \times 64 = 4096$ en 32 ou 16 niveaux de gris
- On utilise **540 images** pour chercher **1000 motifs fréquents**



La base d'images





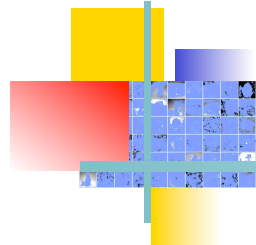
Constat

- L'application directe de APRIORI est impossible
- Il y a trop de motifs fréquents

Nb. élts / motif	1	2	3	4	5	6
Nb motifs	$2 \cdot 10^3$	$110 \cdot 10^3$	$3,8 \cdot 10^6$	$80 \cdot 10^6$	$1,15 \cdot 10^9$	$12,5 \cdot 10^9$

Pour images 32 x 32 en 64 niveaux de gris

► *Il faut adapter l'algorithme et faire une recherche stochastique et non plus exhaustive*



Adaptation de l'algorithme

Recherche itérative et stochastique de motifs fréquents

- Paramètres : taux de couverture ε . Nombre de motifs cherchés = N
 - Nombre de motifs trouvés = n
-

Tant que $n \leq N$ **faire**

 Choix dans un exemple x_i encore peu couvert d' un premier atome a_0 présent dans au moins ε des exemples

motif <- a_0

Tant que taux de couverture de *motif* > ε **faire**

 Tirer au hasard un atome a de x_i couvrant au moins ε des exemples et peu utilisé dans les motifs existants et satisfaisant les contraintes sémantiques

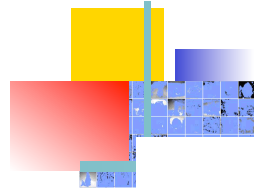
Si *motif+a* couvre au moins ε des exemple **alors**

motif <- *motif+a*

fin si

Fin tant que

Fin tant que



Codage clairsemé Nb de FIS / images

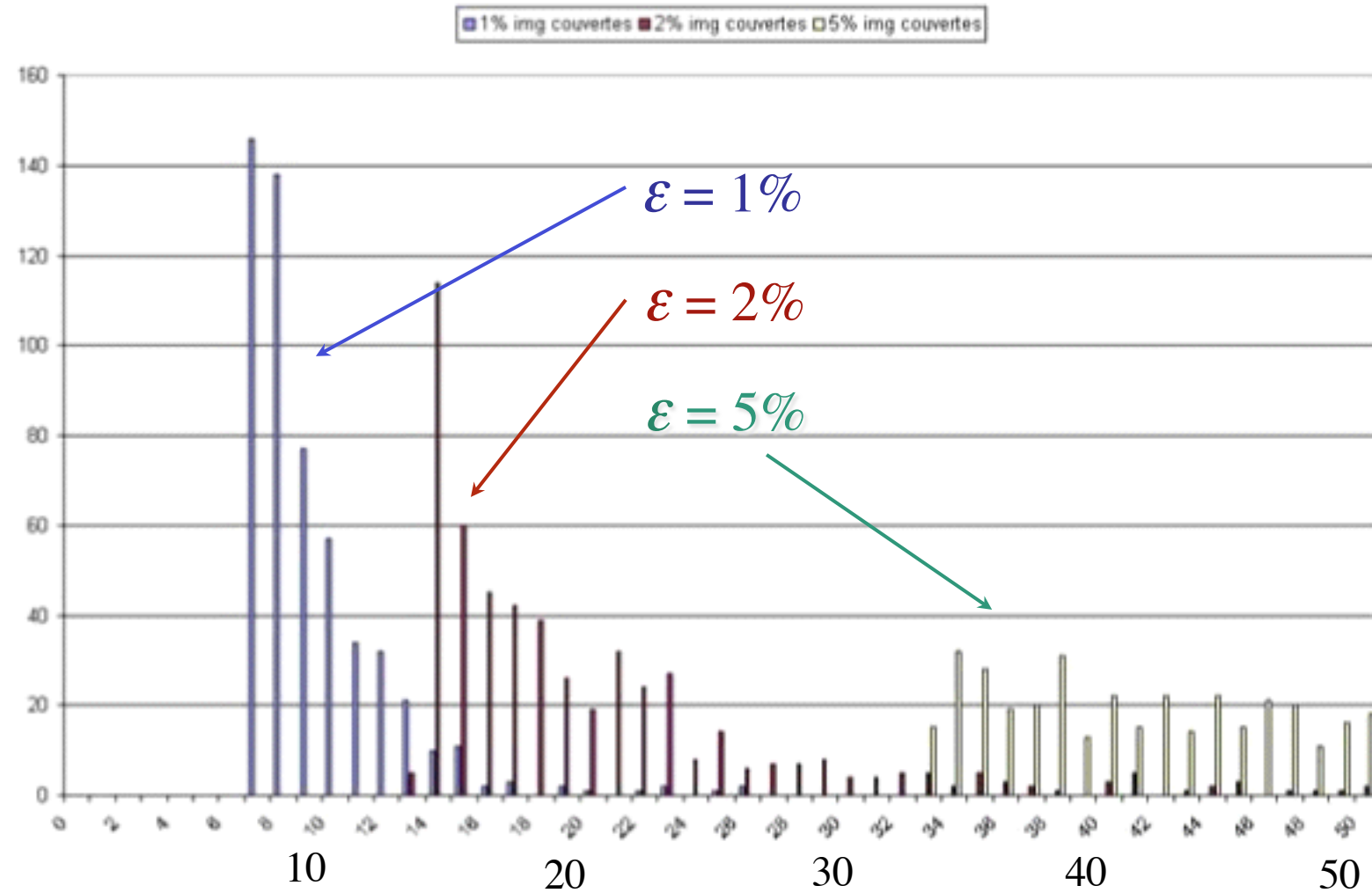
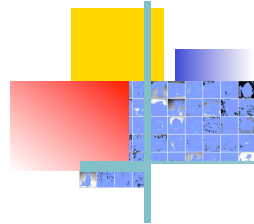


FIG. 6.22 – Histogramme représentant le nombre d'images (en ordonnée) activant N FIS (en abscisse). Ces fonctions ont été calculées à partir d'images de taille 64x64 en 16 niveaux de gris. La troisième méthode de choix des pixels (pixels se touchant) est utilisée. Un bon histogramme a le moins de valeurs possibles (très "groupé".)



Codage clairsemé Nb de FIS / images

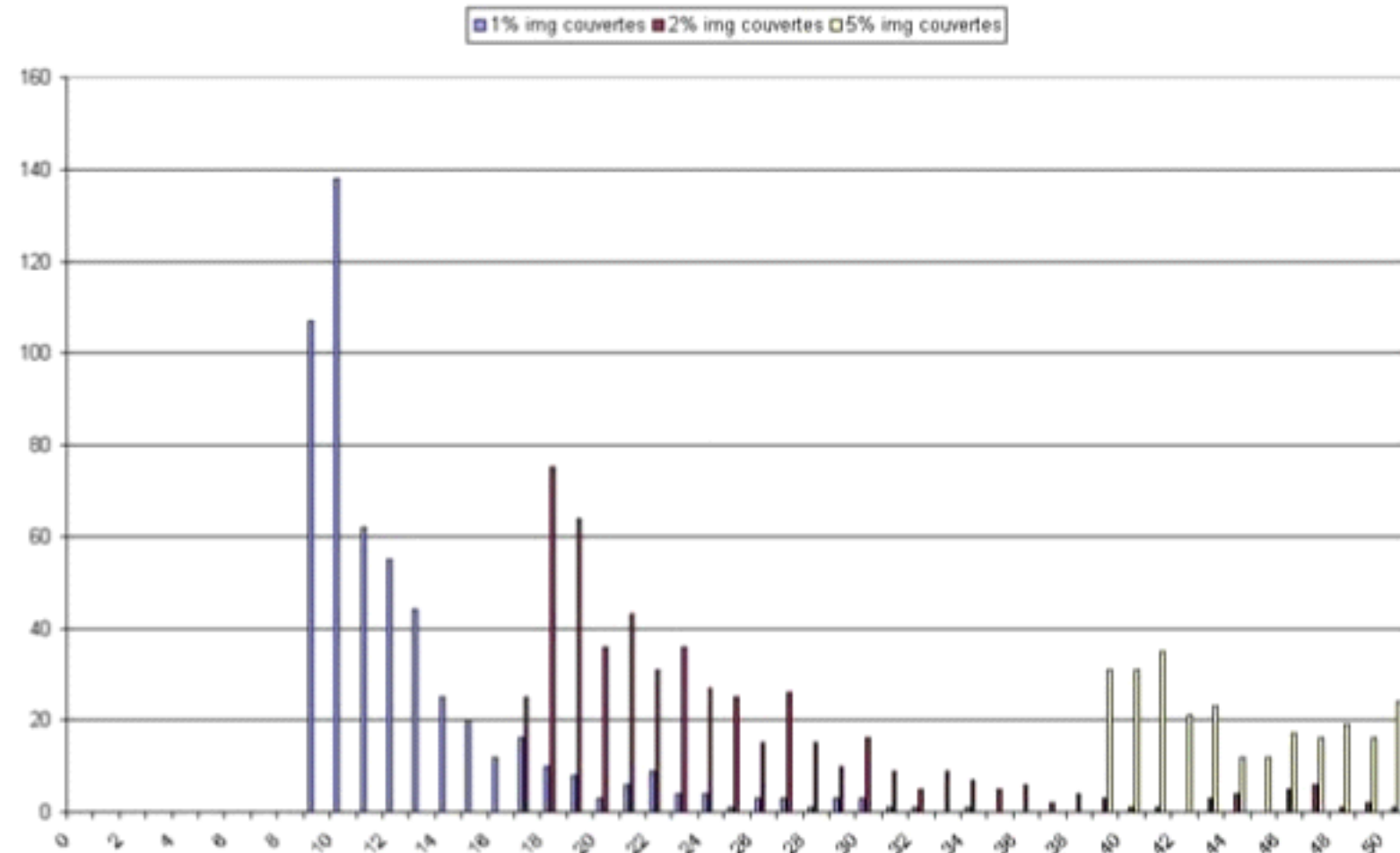
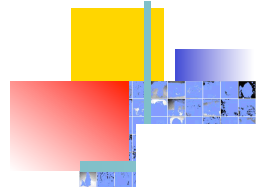


FIG. 6.23 – Histogramme représentant le nombre d'images (en ordonnée) activant N FIS (en abscisse). Ces fonctions ont été calculées à partir d'images de taille 64x64 en 16 niveaux de gris. La quatrième méthode de choix des pixels (pixels formant une ligne) est utilisée. Un bon histogramme a le moins de valeurs possibles (très "groupé").



Orthogonalité

Nb images par couple de motifs

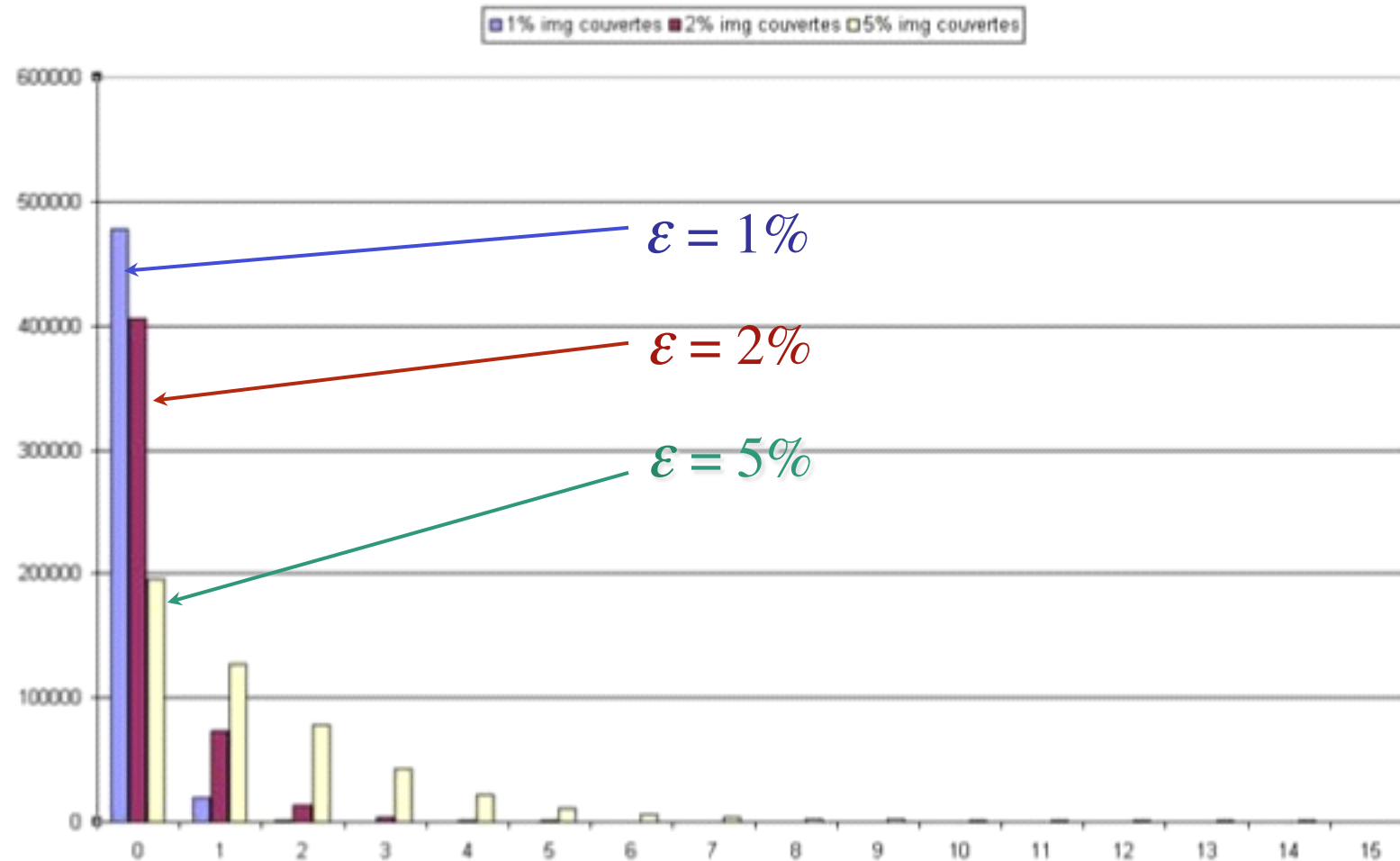
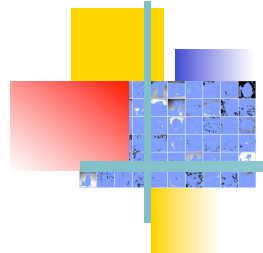


FIG. 6.18 – Histogramme représentant le nombre de couples de fonctions (en ordonnée) ayant N images en commun (en abscisse). Ces fonctions ont été calculées à partir d’images de taille 64x64 en 16 niveaux de gris. La troisième méthode de choix des pixels (pixels se touchant) est utilisée. Un bon histogramme a le moins possible de valeurs élevées.



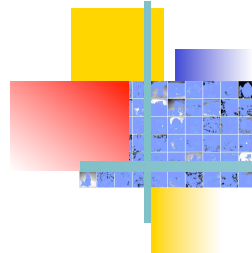
Nouvelles expériences

■ Nouvelles contraintes (choix des pixels)

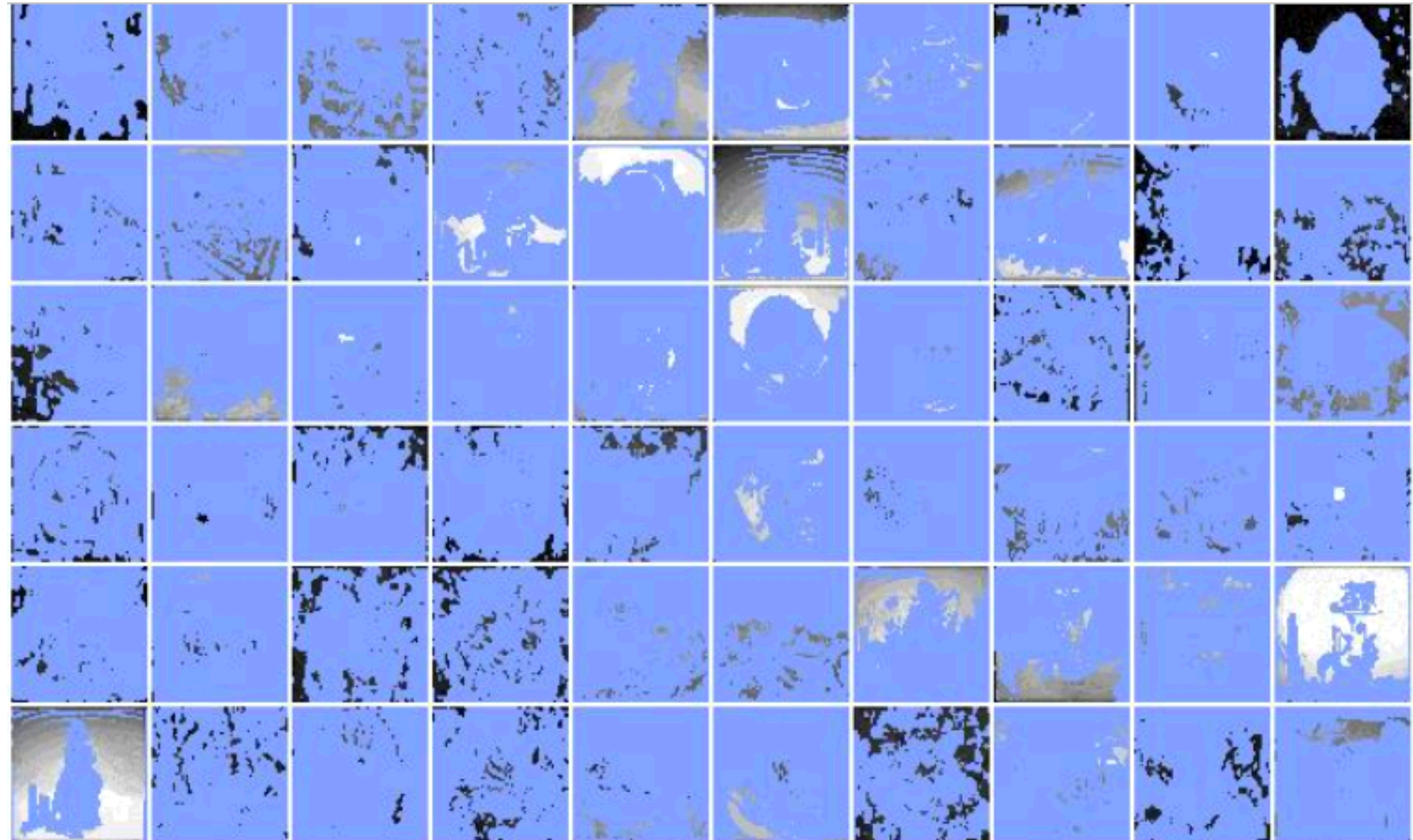
- ***Min*** : les moins présents dans les motifs
- ***Connexe*** : touchant les précédents
- ***Ligne*** : formant des lignes

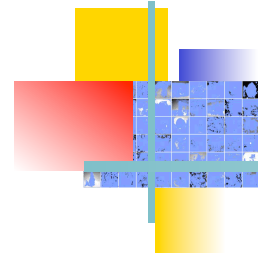
■ Paramètres

- *Taille image* : 64 x 64 x 16 (niveaux de gris)
- *Taux de couverture* : 1, 2, 5, 10 %

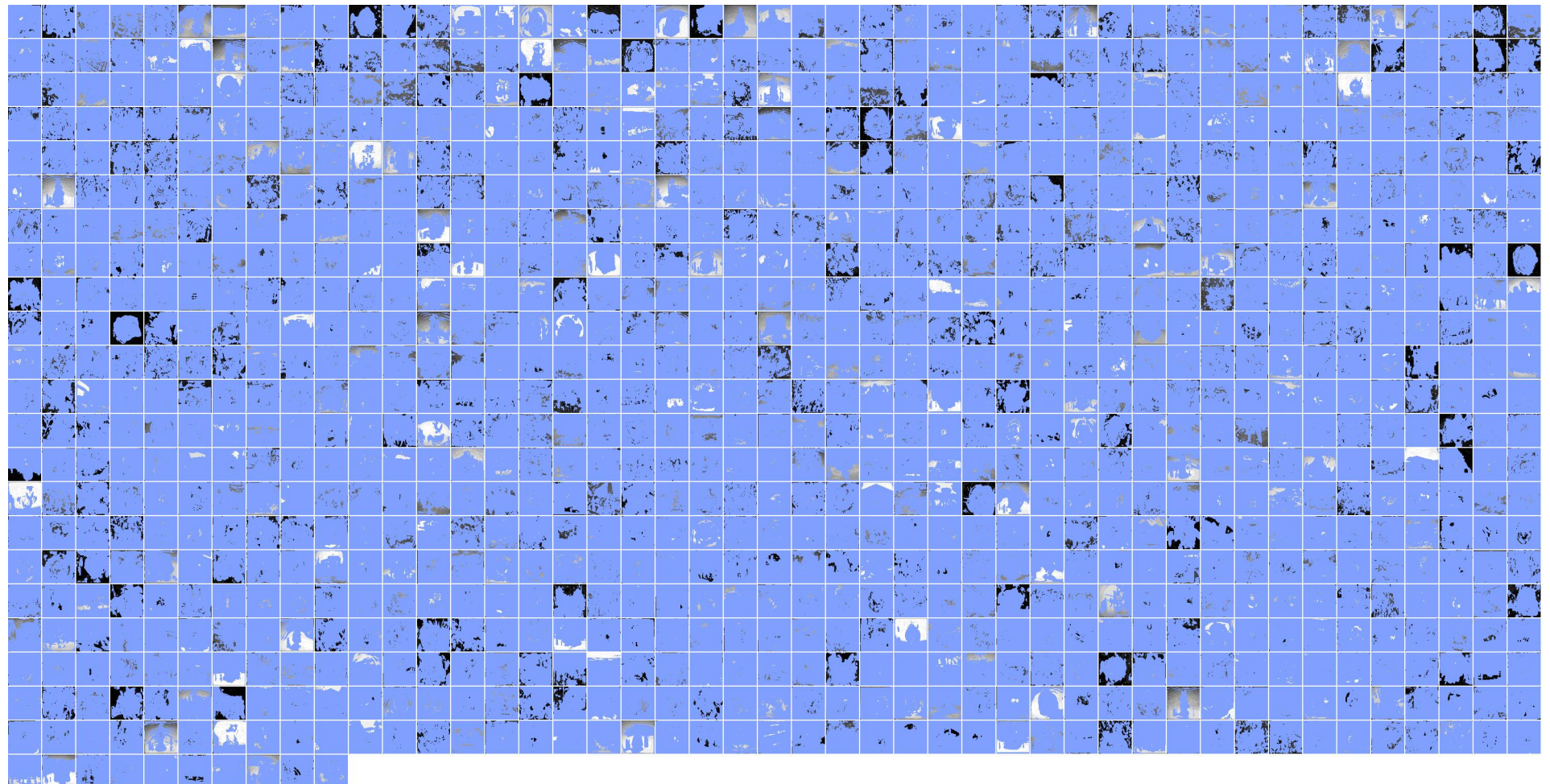


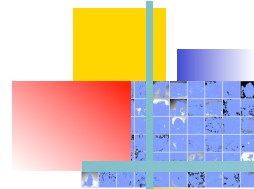
FIS : min_1%



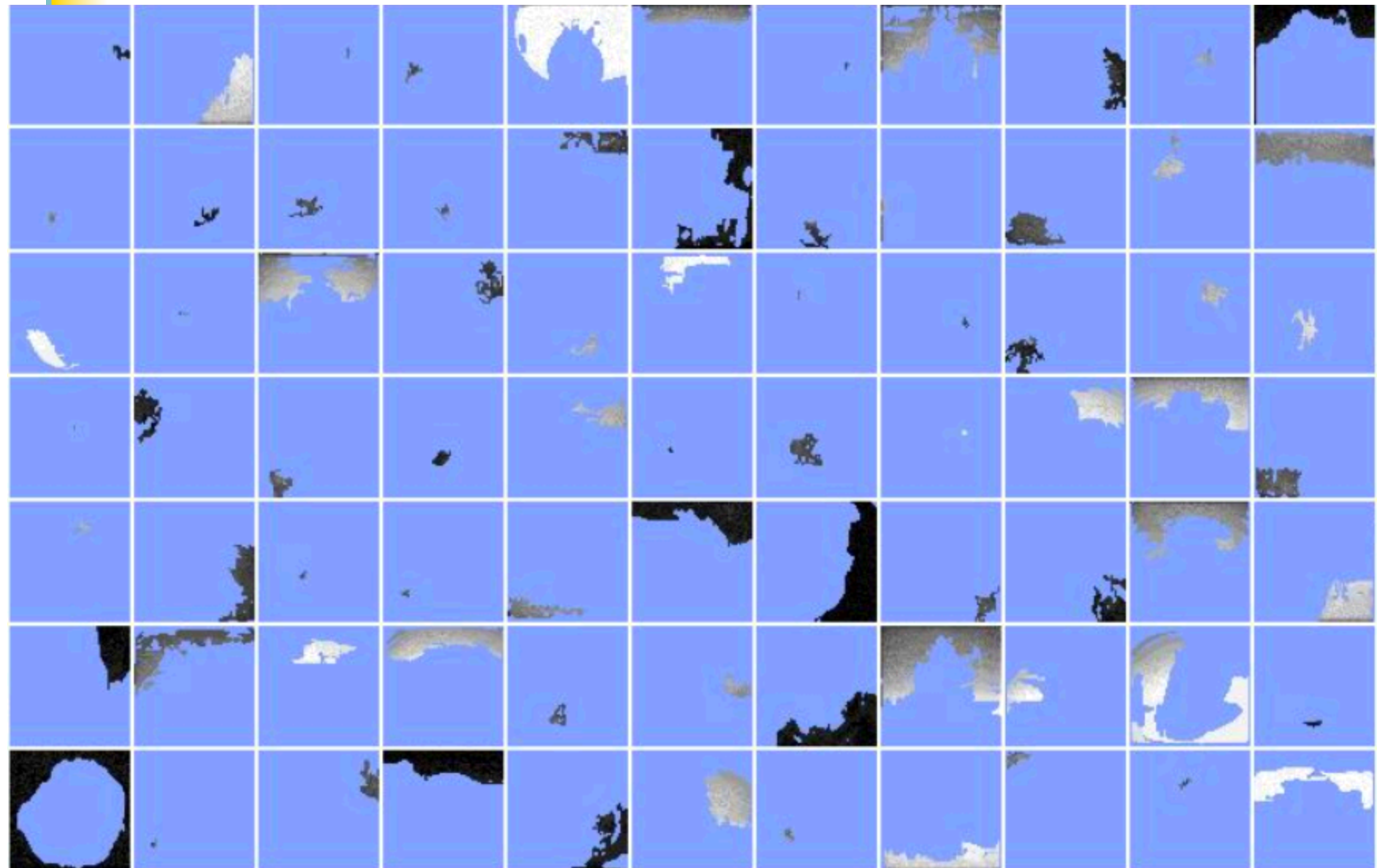


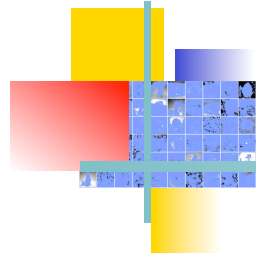
FIS : min_1%



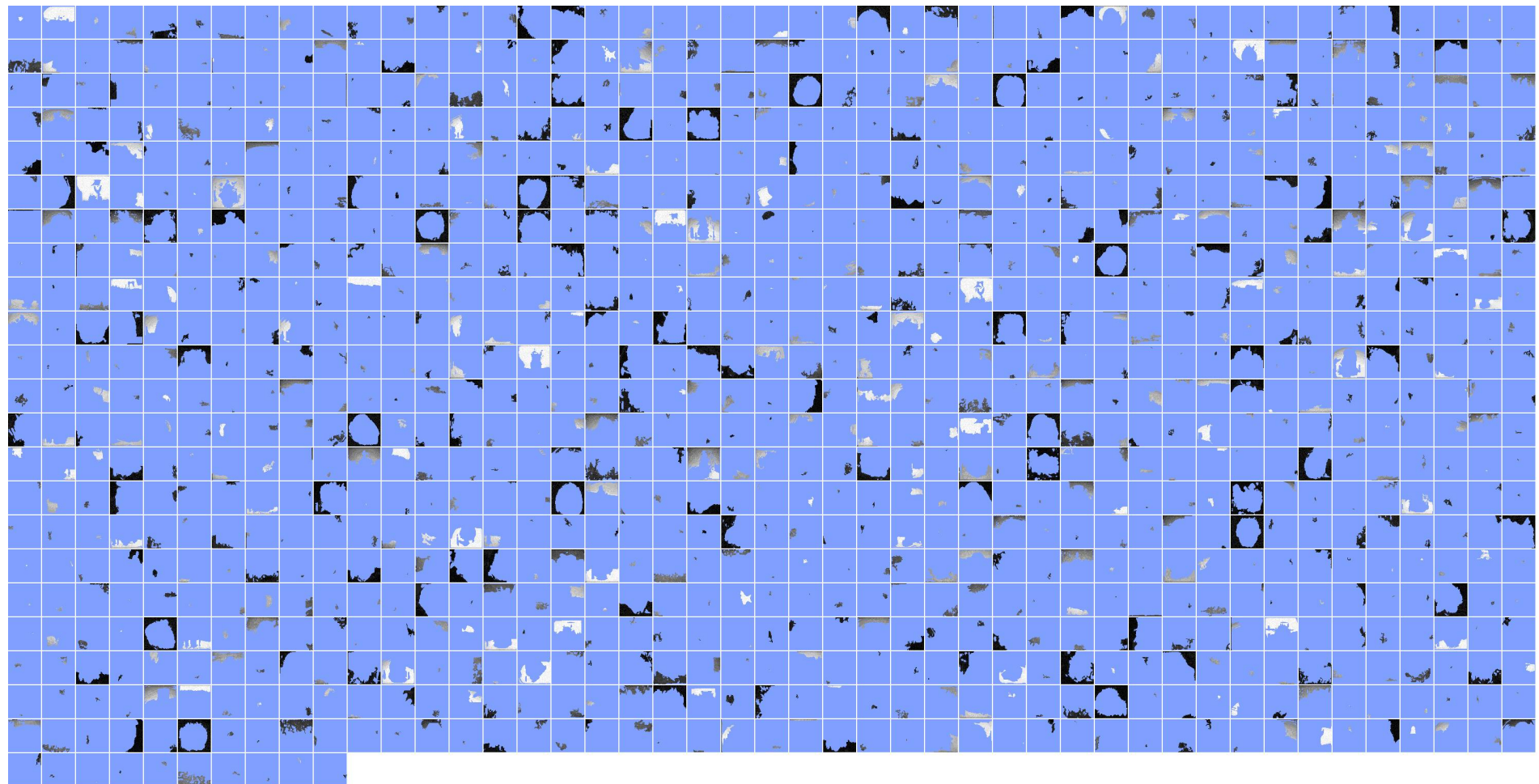


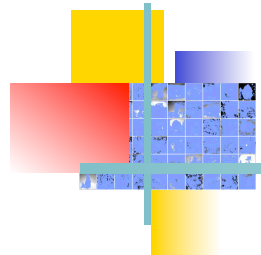
FIS : connexe_1%





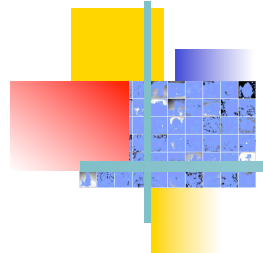
FIS : connexe_1%



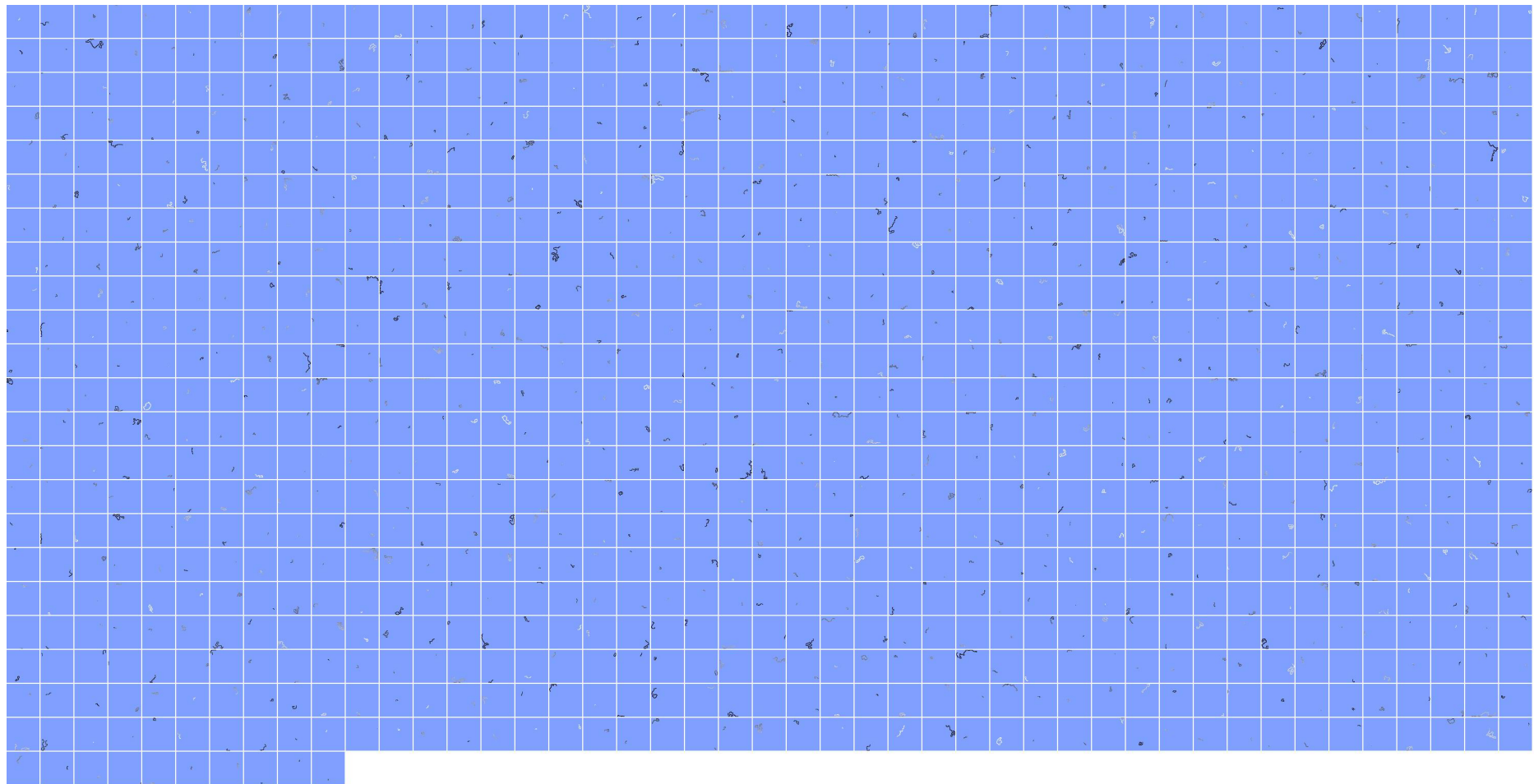


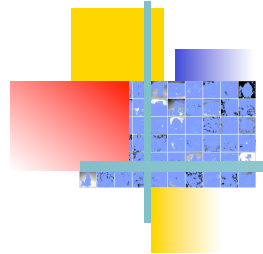
FIS : ligne_1%





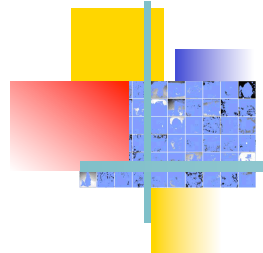
FIS : ligne_1%





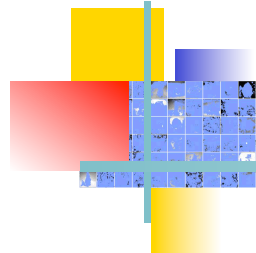
Analyse

- **Difficilement interprétables !!**
- **Pas de contours**, même quand contraintes dans ce sens
- Malheureusement **pas de comparaison possible avec ACI**
puisque ACI non praticable



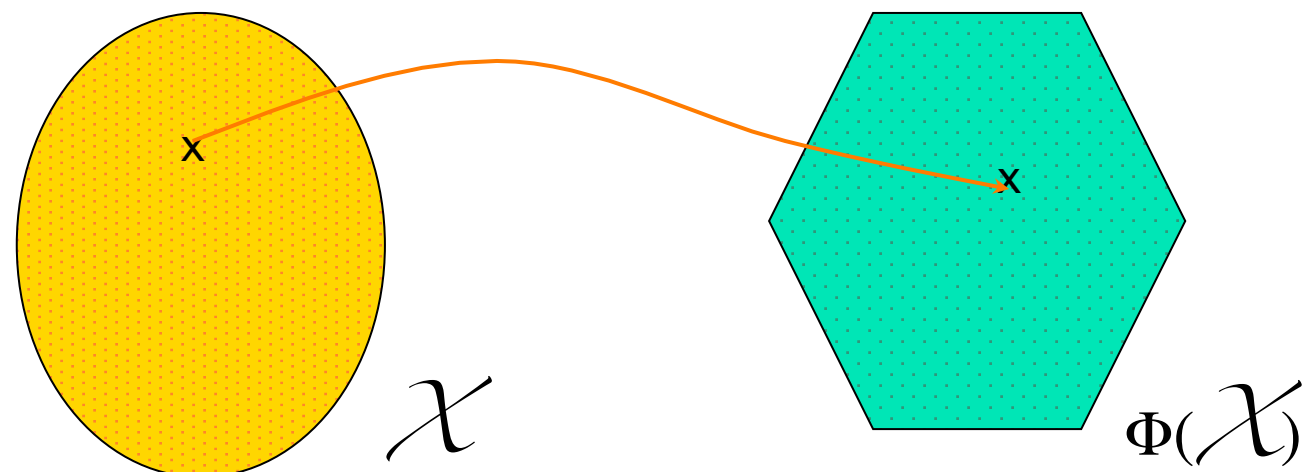
La classification : le protocole

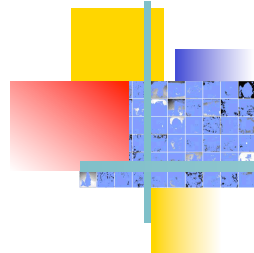
- **Apprentissage d' une base de 1000 motifs sur 540 images**
- **Les paramètres :**
 - Taille image (32 x 32, 64 x 64 ou 128 x 128)
 - Niveaux de gris (16, 32 ou 64)
 - Taux de couverture (1%, 2%, 5% ou 10%)
- **Test sur les 540 images restantes (répété 10 fois)**
 - Note : Tous les résultats sont disponibles sur :
<http://www.eleves.iie.cnam.fr/jouteau>



La classification : la méthode

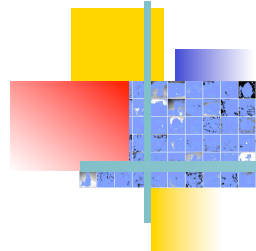
- Chaque exemple (dans \mathcal{X}) est décrit par ses motifs (dans $\Phi(\mathcal{X})$)
- Un nouvel exemple est classé par une méthode de plus proches voisins (dans l' espace de redescription $\Phi(\mathcal{X})$)
 - 1-ppv
 - ou k -ppv avec pondération en fonction de la distance





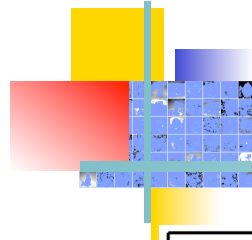
Performances ($\varepsilon = 5\%$)

	Av	Pl	Ut	Mi	Ch	Po	Ve	Pa	Por	Fi	Vo	Fl
Avi	67%	2%	-	-	2%	2%	10%	10%	4%	2%	-	-
Pla	-	21%	-	2%	7%	19%	10%	12%	5%	-	19%	5%
Uta	17%	-	33%	-	7%	-	-	3%	10%	10%	13%	7%
Min	-	-	-	100%	-	-	-	-	-	-	-	-
Chi	26%	5%	7%	-	14%	9%	12%	9%	5%	2%	12%	-
Poi	5%	13%	3%	8%	-	13%	18%	21%	-	3%	10%	8%
Ver	2%	2%	-	-	10%	7%	43%	-	21%	5%	7%	2%
Pap	6%	6%	-	-	2%	14%	14%	35%	6%	-	12%	4%
Por	2%	2%	-	-	-	2%	-	12%	70%	10%	-	2%
Fig	-	-	-	-	-	-	6%	-	24%	70%	-	-
Voi	21%	6%	-	-	4%	4%	8%	4%	4%	29%	19%	-
Fle	2%	9%	-	-	-	9%	21%	14%	-	-	16%	28%



Avec un réseau de neurones RBF

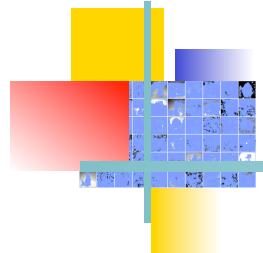
	Av	Pl	Ut	Mi	Ch	Po	Ve	Pa	Por	Fi	Vo	Fl	Rj
Avi	50.7	-	3.3	-	-	-	-	-	-	-	1.3	-	44.7
Pla	-	-	-	6.3	0.8	-	-	-	-	-	-	1.6	91.3
Uta	1.1	-	23.3	-	3.3	1.1	-	-	2.2	-	-	-	68.9
Min	0.8	-	0.8	28.8	-	2.3	-	0.8	-	-	-	3.0	63.6
Chi	-	-	4.0	0.8	11.1	2.4	-	0.8	-	-	3.2	0.8	77
Poi	-	-	3.7	2.2	-	0.7	-	-	-	-	0.7	0.7	91.9
Ver	-	-	2.9	-	0.7	-	9.4	-	20.3	15.9	-	-	50.7
Pap	-	-	-	7.3	-	1.3	-	13.3	1.3	-	-	-	76.7
Por	2.0	-	0.7	-	-	-	0.7	-	45.3	4.7	-	-	46.7
Fig	-	-	-	-	-	-	18.7	-	6.7	42.0	0.7	-	32
Voi	4.1	-	-	-	2.0	-	-	-	-	2.0	34.0	-	57.8
Fle	-	-	-	2.1	-	0.7	-	1.4	-	-	0.7	24.8	70.2



Comparaison

	Av	Pl	Ut	Mi	Ch	Po	Ve	Pa	Por	Fi	Vo	Fl
Avi	67%	2%	-	-	2%	2%	10%	10%	4%	2%	-	-
Pla	-	21%	-	2%	7%	19%	10%	12%	5%	-	19%	5%
Uta	17%	-	33%	-	7%	-	-	3%	10%	10%	13%	7%
Min	-	-	-	100%	-	-	-	-	-	-	-	-
Chi	26%	5%	7%	-	14%	9%	12%	9%	5%	2%	12%	-
Poi	5%	13%	3%	8%	-	13%	18%	21%	-	3%	10%	8%
Ver	2%	2%	-	-	10%	7%	43%	-	21%	5%	7%	2%
Pap	6%	6%	-	-	2%	14%	14%	35%	6%	-	12%	4%
Por	2%	2%	-	-	-	2%	-	12%	70%	10%	-	2%
Fig	-	-	-	-	-	-	6%	-	24%	70%	-	-
Voi	21%	6%	-	-	4%	4%	8%	4%	4%	29%	19%	-
Fle	2%	9%	-	-	-	9%	21%	14%	-	-	16%	28%

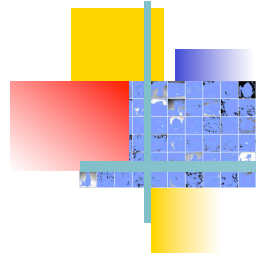
	Av	Pl	Ut	Mi	Ch	Po	Ve	Pa	Por	Fi	Vo	Fl	Rj
Avi	50.7	-	3.3	-	-	-	-	-	-	-	1.3	-	44.7
Pla	-	-	-	6.3	0.8	-	-	-	-	-	-	1.6	91.3
Uta	1.1	-	23.3	-	3.3	1.1	-	-	2.2	-	-	-	68.9
Min	0.8	-	0.8	28.8	-	2.3	-	0.8	-	-	-	3.0	63.6
Chi	-	-	4.0	0.8	11.1	2.4	-	0.8	-	-	3.2	0.8	77
Poi	-	-	3.7	2.2	-	0.7	-	-	-	-	0.7	0.7	91.9
Ver	-	-	2.9	-	0.7	-	9.4	-	20.3	15.9	-	-	50.7
Pap	-	-	-	7.3	-	1.3	-	13.3	1.3	-	-	-	76.7
Por	2.0	-	0.7	-	-	-	0.7	-	45.3	4.7	-	-	46.7
Fig	-	-	-	-	-	-	18.7	-	6.7	42.0	0.7	-	32
Voi	4.1	-	-	-	2.0	-	-	-	2.0	34.0	-	-	57.8
Fle	-	-	-	2.1	-	0.7	-	1.4	-	-	0.7	24.8	70.2



Performances en classification

■ Résultats

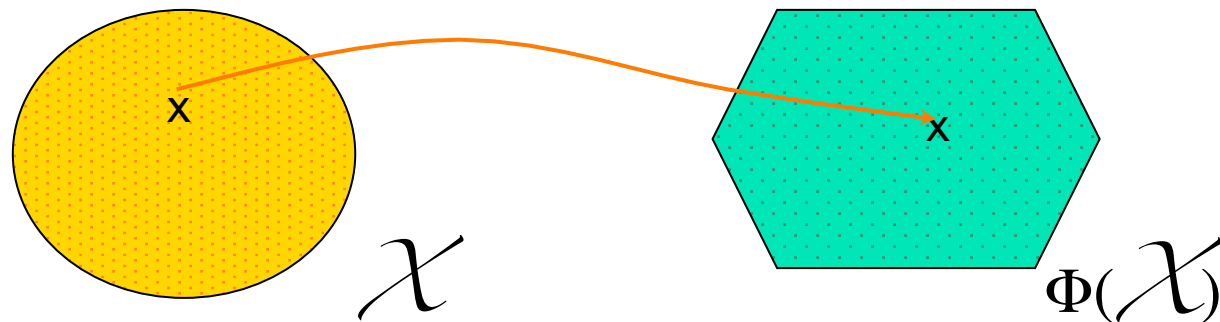
- Meilleurs résultats pour $\epsilon = 2$ ou 5 %
 - Assez comparable : *min, connexe, ligne*
 - Bien meilleurs que méthode RN
-
- Peut mieux faire ...
 - Avec un appariement plus souple



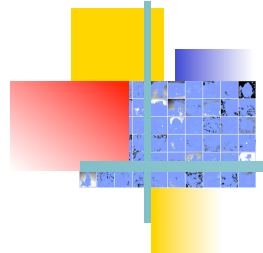
Analyse

- Pourquoi ça marche (si bien) ?

- Recodage non supervisé !!
- Puis une méthode de plus proche(s) voisin(s)



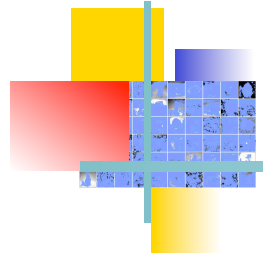
Quelles sont les propriétés de ce recodage ?



Approches classiques

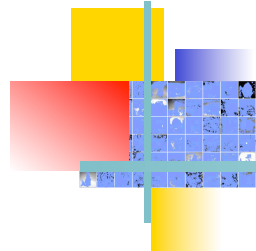
... et moins classiques

	Réduction	Orthogonalité	Indép. des données	Approximation
<i>Analyse fonctionnelle</i>	+/-	✓	✓	✓
<i>PCA</i>	✓	✓		✓
<i>Apprent. artificiel</i>	✓			✓
<i>ICA</i>				✓



Le codage par motifs fréquents

- Ne permet pas la reconstruction des entrées
- Les motifs sont orthogonaux : mais par rapport aux exemples d' apprentissage !!
- Espace C_{100}^{10}
- Tous les points d' apprentissage sont orthogonaux dans cet espace



Analyse (suite)

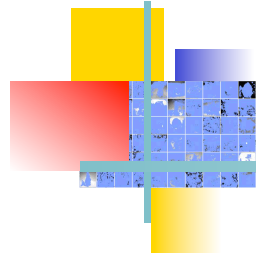
- *Pourquoi aurait-on de bonnes garanties en généralisation ?*

➡ Capacité limitée ? (dimension de Vapnik-Chervonenkis)

- **Conjecture initiale**

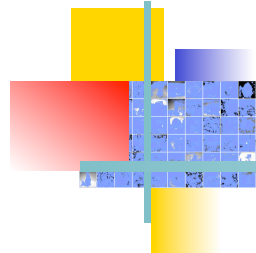
- Peu de cellules de Voronoi
 - « Parois » définies par peu de paramètres (≈ 20)
 - donc d_{VC} très limitée
- ... **Mais faux**

Autre analyse en cours



Conclusion

- Analyse théorique en cours
 - Expérimentations
 - sur les puces ADN
 - sur la classification de textes de NewsGroups
- ➡ *Peut-être un nouveau type de traitement du signal*



ICA : Analyse en Composantes. Indép.

(Introduite en 1984. Développée dans les 90s)

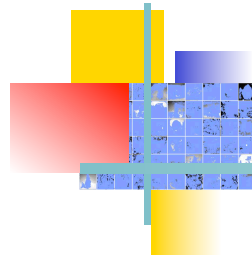
Hyp. de base : *les données résultent d'une combinaison linéaire de formes latentes*

→ Recherche de ces formes latentes

- Exemples
 - Images
 - Puces ADN

→ *Codage clairsemé des données*

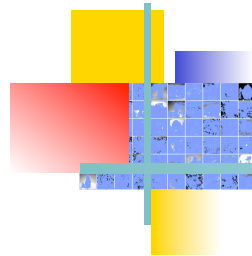
- MAIS :
 - Les algorithmes existants **ne fonctionnent pas** en grande dimension
 - Hypothèse de linéarité



$$\varepsilon = 5\% ; \min \quad (\text{voisinage discret})$$

Matrice booléenne

	Avions	Plats	Utah	Minéraux	Chiens	Poissons	Verres	Papillons	Porcelaines	Figures	Voitures	Fleurs	Rejet
Avions	31%	10%	3%	2%	4%	4%	6%	5%	10%	-	22%	3%	-
Plats	-	21%	1%	7%	3%	23%	2%	18%	5%	-	12%	9%	-
Utah	12%	7%	40%	-	3%	17%	-	7%	-	-	13%	2%	-
Minéraux	-	2%	-	68%	-	16%	3%	8%	-	-	-	3%	-
Chiens	5%	11%	5%	2%	26%	14%	5%	15%	9%	-	8%	1%	-
Poissons	5%	13%	3%	3%	6%	12%	11%	16%	-	-	11%	20%	-
Verres	10%	-	-	-	2%	7%	33%	4%	17%	2%	21%	4%	-
Papillons	4%	10%	-	1%	5%	14%	9%	28%	3%	-	17%	9%	-
Porcelaines	2%	2%	-	-	5%	5%	4%	7%	68%	5%	2%	1%	-
Figures	4%	-	-	-	-	-	9%	-	23%	64%	-	-	-
Voitures	10%	8%	2%	-	8%	6%	5%	3%	9%	17%	26%	7%	-
Fleurs	-	6%	-	5%	3%	9%	9%	29%	-	-	18%	20%	-



$$\varepsilon = 5\% ; \min \quad (\text{voisinage continu})$$

Matrice continue

	Avions	Plats	Utah	Minéraux	Chiens	Poissons	Verres	Papillons	Porcelaines	Figures	Voitures	Fleurs	Rejet
Avions	67%	4%	6%	-	4%	-	8%	4%	-	-	6%	-	-
Plats	5%	24%	2%	2%	7%	21%	2%	10%	5%	-	14%	7%	-
Utah	17%	-	50%	-	-	3%	-	3%	-	3%	17%	7%	-
Minéraux	-	-	-	100%	-	-	-	-	-	-	-	-	-
Chiens	14%	7%	9%	-	23%	5%	12%	14%	2%	-	12%	2%	-
Poissons	3%	18%	-	13%	10%	23%	8%	10%	-	-	10%	5%	-
Verres	7%	5%	-	5%	2%	7%	33%	-	26%	7%	7%	-	-
Papillons	8%	4%	-	-	6%	2%	14%	53%	6%	-	4%	2%	-
Porcelaines	-	-	-	4%	-	-	-	14%	72%	8%	-	2%	-
Figures	-	-	-	-	-	-	2%	-	22%	76%	-	-	-
Voitures	31%	4%	2%	-	15%	-	2%	17%	2%	17%	10%	-	-
Fleurs	5%	2%	-	-	5%	2%	23%	33%	-	-	12%	19%	-